

北大 工学部 正員 能町紀雄
北見工業大学 正員 大島俊之

1. まえがき

鋼床版の研究は二つあります。Pelican u. M. Esslinger¹⁾による直交異方性床版としての研究、Houborg²⁾による三層による複合構造としての研究³⁾と、J. G. Boukamp and G. H. Powell^{4), 5)}の論文にある折板構造としての研究^{4), 5)}など多くの研究があります。本論文は鋼床版のテクノロジーと開口部に対する研究^{6), 7)}を適用して、両者の断面変形を考慮した解析によります。2. 鋼床版の舗装の破壊の問題、特に舗装表面の引張歪の定量化、および鋼床版の断面特性などについての研究を目的としています。

昨年、橋軸方向に単純支持された構造についての理論を発表し、テクノロジーによる断面方向の力の传递などについて調べたが、今回はより具体的な横移動による支承位置による場合についての理論式を説明し、上記諸数値に及ぼす横移動の沈下の影響などをについて考察しようとするものである。

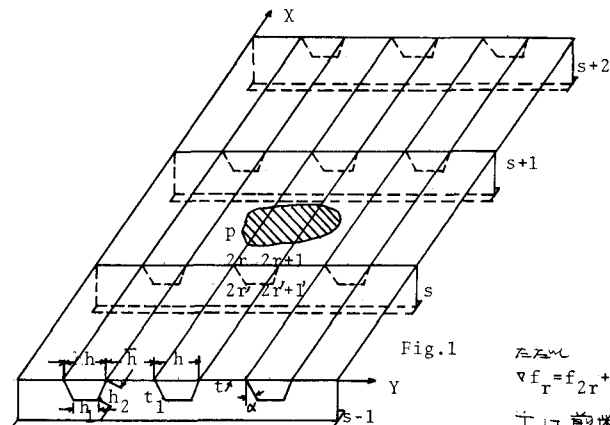
2. 理論概要^{4), 5)}

Fig. 1

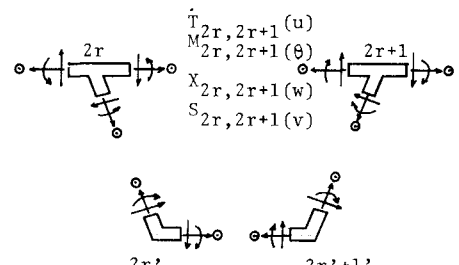


Fig. 2

$$\nabla f_r = f_{2r} + f_{2r+1}, \quad \Delta f_r = f_{2r+1} - f_{2r}$$

∇ は剪断流， M は断面方向曲率モード $= -t$ 。

X は断面方向剪断力， S は軸力(垂直応力)。

図1のような構造の任意の部分に対して、図2のような力と曲率モード $-t$ の変形関係を文献^{6), 7)}を参照して其の理論書籍に依りて載めます。^{4), 5)} 次に節点は図1と通りあります。X方向に連続、Y方向には離散型の関数表現と山丘変位に対する連立微分差分方程式が得られます。 $=$ つまり左側、X方向に有限要素法⁸⁾、Y方向に有限フーリエ変換(Finite Fourier Integration Transform)⁹⁾を行なって、Y方向の境界条件を両端単純支持とし、X方向の境界条件¹⁰⁾を次式の形で与えます。(文献4, 5 参照)

$$\begin{bmatrix} b_{12} - b_{11}M^2 & b_{15} - b_{14}M^2 + b_{13}M^4 & b_{19} - b_{17}M^2 + b_{16}M^4 & b_{10} - b_{18}M^2 \\ b_{22} - b_{21}M^2 & b_{25} - b_{24}M^2 + b_{23}M^4 & b_{29} - b_{27}M^2 & b_{210} - b_{28}M^2 + b_{26}M^4 \\ b_{32} - b_{31}M^2 & b_{35} - b_{34}M^2 + b_{33}M^4 & b_{39} - b_{37}M^2 + b_{36}M^4 & b_{310} - b_{38}M^2 \\ b_{42} - b_{41}M^2 & b_{45} - b_{44}M^2 + b_{43}M^4 & b_{49} - b_{47}M^2 & b_{410} - b_{48}M^2 + b_{46}M^4 \end{bmatrix} \cdot \begin{bmatrix} \nabla U \\ \nabla V \\ \nabla W \\ \Delta W \end{bmatrix} = \begin{bmatrix} IP_1 \\ IP_2 \\ IP_3 \\ IP_4 \end{bmatrix} + \begin{bmatrix} b_{11} \\ b_{21} \\ b_{31} \\ b_{41} \end{bmatrix} C_m M \nabla U$$

$$+ \begin{bmatrix} b_{13} \\ b_{23} \\ b_{33} \\ b_{43} \end{bmatrix} C_m M \nabla V_0 + \begin{bmatrix} b_{14} - b_{13}M^2 \\ b_{24} - b_{23}M^2 \\ b_{34} - b_{33}M^2 \\ b_{44} - b_{43}M^2 \end{bmatrix} C_m M \nabla W_0 + \begin{bmatrix} b_{16} \\ 0 \\ b_{36} \\ 0 \end{bmatrix} C_m M \Delta W_0 + \begin{bmatrix} b_{17} - b_{16}M^2 \\ b_{27} - b_{26}M^2 \\ b_{37} - b_{36}M^2 \\ b_{47} \end{bmatrix} C_m M \Delta W_0 + \begin{bmatrix} b_{18} \\ b_{28} - b_{26}M^2 \\ b_{38} \\ b_{48} - b_{46}M^2 \end{bmatrix} C_m M \Delta W_0 \quad (1)$$

$$E=Et, b_{11}=a_{11}-a_{12}, a_{31}/a_{32}, a_{11}=\frac{h_2}{2}(N+N_z)+\frac{\bar{N}h_2(1-\frac{D_1}{E})}{2},$$

$$a_{12}=\frac{\bar{N}h_2}{E}\sin\frac{\pi r}{h}, a_{31}=\frac{1}{2}(Et+\frac{\sqrt{N}}{h})\sin\frac{\pi r}{h}, a_{32}=\frac{D_1}{4}(Et+\frac{\sqrt{N}}{h})$$

$$\text{ここで}, M=\frac{M\pi}{x}, \nabla \dot{U}=\sum_{r=1}^{n-1} \nabla U \sin\frac{\pi r}{h}, c_m=1-(1)^m,$$

$$P_1=\sum_{r=1}^{n-1} \nabla P_r \sin\frac{\pi r}{h}, \nabla \dot{U}_0 \text{ は } \nabla \dot{U} \text{ の境界値}.$$

$$N=Eth/(1-v^2), \bar{N}=Et\bar{h}/(1-v^2), D_1=2(1-\omega\frac{\pi}{h}),$$

$$N_z=Et_1h_2/(1-v^2), v=\text{Poisson ratio}, \dot{f}=\frac{df}{dx}.$$

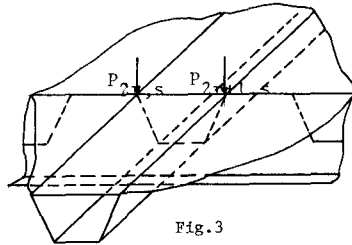


Fig.3

3. 境界条件.

(1) 式は横行位置で7個の境界値を持つ。図3のように、横行と斜面の交差部で、次の境界条件で各々の境界値を決定する。(1)式一般解は(1)式を解いてx方向に有限要素法で連続化する。

$$1) \nabla \dot{U}_{A,A+1} = \nabla \dot{U}_{A,A-1}, 2) \nabla \dot{W}_{A,A+1} = \nabla \dot{W}_{A,A-1} \Rightarrow \Delta \dot{W}_{A,A+1} = 4\dot{W}_{A,A-1} + \nabla \dot{V}_{A,A+1} = \nabla \dot{V}_{A,A-1}, 5) \nabla \dot{V}_{A,A+1} = \nabla \dot{V}_{A,A-1}$$

$$6) a_{11}(\nabla \dot{U}_{A,A+1} - \nabla \dot{U}_{A,A-1}) + a_{17}(\nabla \dot{W}_{A,A+1} - \nabla \dot{W}_{A,A-1}) = \nabla \dot{P}_A - \nabla \dot{C}_A, \text{ ここで } a_{17} = -\frac{N_z h^2}{E} \cos\alpha, \text{ ここで}$$

$$7) a_{22}(\Delta \dot{U}_{A,A+1} - \Delta \dot{U}_{A,A-1}) + a_{28}(\Delta \dot{W}_{A,A+1} - \Delta \dot{W}_{A,A-1}) = \Delta \dot{P}_A - \Delta \dot{C}_A, \quad \nabla \dot{P}_A, \Delta \dot{P}_A \text{ は横木行上の荷重項}, \nabla \dot{C}_A, \Delta \dot{C}_A \text{ は横木行の剛性のそれと並んで要素L左の}.$$

4. 数値計算例.

鋼木板舗装の破壊問題。特に舗装表面の引張歪を計算するため、図4のように一つの構造および荷重状態で示して得られた曲面方向曲げモーメントを示した。これによると最大曲げ角を示す部分で最大曲げ角を示す部分で最大曲げモーメントを用いた。図5(a), (b)のように舗装表面の引張歪を示めた。図5(a)はアーチモードと一体となり舗装板が弾性的に変形するものとして両側へ反曲角を延長して示したものである。(a) (b) 図は最大曲げモーメントにおける最大曲率から幾何学的剛性を示したものである。(a) (b)

5. 結論.

以上計算の結果、 $\varepsilon_{\theta, \max} = 1 \times 10^{-3}$, $\varepsilon_k, \max = 1 \times 10^{-2}$ 程度の値が通常の鋼木板断面で得られるが、一方アスファルトの極限破断歪は高温時 1×10^{-2} , 低温時 1×10^{-3} といわれている。 10^3 は計算より非常に近い値を示すことを明らかにする。

今後は種々の改良についてもさらに検討をして

2種類の問題の解決につけて考慮したい。

また、二つ用いた理論は横行と斜面の接合部の取扱い方に不完全な点もあるのでこれを検討を加えたいと思う。

参考文献

1) 国立・藤原: 工木研究所報告 137号の1 (1969)

2) 渡辺昇: 格子けたの理論と計算 (技術文庫)

3) J. G. Bouwkamp and G. H. Powell: Structural Behavior of an Orthotropic Steel Deck Bridge (1967) コロナ技術.

4) 能町・大島: 工木学会年次学術講演会, 工部 (1975)

5) 能町・大島: 工木学会北海道支部論文集 (1976)

6) 能町: 工木学会論文集 第146号, 力屋山奇: 工木学会論文集 第179号

7) I. N. Sheddon: The use of Integral Transform, McGraw-Hill 10) 菅原他: 工木材料(4) 及立出版 (1974)

9) Nomachi and Matsuoka: Proc. of the 20th Jap. Natl. Congr. for Appl. Mech. (1970).